



Gorgan University of Agricultural Sciences and Natural Resources



Iranian Association of Food Scientists and Technologists

## Effect of operating parameters on the physical and flow properties of spray dried low-phenylalanine whole camel milk: A response surface methodology approach

Sanaz Kamali<sup>1</sup>, Mahdi Kashaninejad<sup>2\*</sup>, Seyed Mahdi Jafari<sup>2</sup>,  
Mohammad Ghorbani<sup>3</sup>

<sup>1</sup>PhD student, Department of Food Process Engineering, Faculty of Food Science and Technology, Gorgan University of Agricultural Sciences and Natural Resources, Gorgan, Iran

<sup>2</sup>Professor, Department of Food Process Engineering, Faculty of Food Science & Technology, Gorgan University of Agricultural Sciences and Natural Resources, Gorgan, Iran. Email: kashani@gau.ac.ir

<sup>3</sup>Associate Professor, Faculty of Food Science and Technology, Gorgan University of Agricultural Sciences and Natural Resources, Gorgan, Iran

### Article Info

#### Article type:

Research Full Paper

#### Article history:

Received: 12-01-2023

Revised: 12-07-2023

Accepted: 19-07-2023

#### Keywords:

Low-phenylalanine whole camel milk powder

Flowability

Hassner's Ratio

Carr Index

color

### ABSTRACT

**Background and objectives:** Camel milk has many nutritional and therapeutic properties. Additionally, due to the absence of beta-lacto globulin, it does not cause allergic reactions in children. Phenylketonuria is a hereditary metabolic disease that unable to metabolize the amino acid phenylalanine. The most severe clinical complication of this disease is irreversible mental retardation. Nowadays, using food sources without phenylalanine is the only way to cure. The aim of this research was to produce spray dried low-phenylalanine whole camel milk in a laboratory scale with optimum flow ability to be used in the diet of these patients.

**Materials and methods:** Fresh camel milk was prepared from dromedary camels (Golestan, Iran) and its amino acid phenylalanine (Phe) content was measured by HPLC method. Then, whole camel milk was hydrolyzed by using two types of protease (*Aspergillus oryzae* and papain) in three different ways. The optimum method for removing the amino acid phenylalanine from whole camel milk was determined by calculating and comparing the analysis of variance of the removal efficiency of phenylalanine. This low-Phe sample was dried in a spray dryer with three variables parameters of inlet temperature in three levels 120, 140 and 160°C and feed flow rate in three levels 400, 600 and 800 mL/min and air flow rate in three levels 15, 20 and 25 m<sup>3</sup>/h. The experimental design in the drying stage was response surface method (RSM) and Box-Benken experimental design.

**Results:** The results showed that by using the combined method of two enzymes of *Aspergillus oryzae* and papain with equal amount and using activated carbon of 0.9 gr/gr protein, a 99.33% decrease in the amino acid content of phenylalanine was observed in whole camel milk. The sample of hydrolyzed camel milk with the lowest amount of the was used in a spray dryer at three temperatures from 120 to 160°C and three feed flow rates from 400 to 800 mL/min and

---

three air flow rates from 15 to 25 m<sup>3</sup>/h. The results showed that the parameters used in spray dryer had significant effect on the flow ability characteristics of low-Phe whole camel milk powder produced in the research including bulk and tapped density, filling and emptying repose angles, dispensability, wettability, cohesiveness, Particle size distribution and color parameters.

**Conclusion:** Analysis of variance (ANOVA) of the results showed that the effect of inlet temperature parameters on bulk and tapped density of low-Phe camel milk powder was significant ( $p>0.05$ ). The highest bulk and tapped density related to the sample was dried at 120°C and the feed flow rate of 600 mL/min and the air flow rate of 25 m<sup>3</sup>/h (520 and 630 kg/m<sup>3</sup>, respectively) And the lowest of them was 172 and 340 kg/m<sup>3</sup> for the sample was dried at 140°C, feed flow rate of 800 mL/min and air flow rate of 15 m<sup>3</sup>/h. The Carr Index of low-Phe camel milk powder showed that the sample was dried at 160°C and a feed flow rate of 600 mL/min and an air flow rate of 20 m<sup>3</sup>/h had very good flowability. The same sample according to Hassner's Ratio was very good powder. The angle of repose of filling was directly related to the cohesiveness of powders, so that the angle of repose of filling increased with the increase of cohesiveness. The falling repose angle was also inversely related to the flowability of the samples, and by reducing the repose angle, their flowability was done more easily. Increasing the inlet temperature of the spray dryer also increased the size of powder particles and the amount of a\* and b\*, while the amount of L\* of the sample of whole camel milk powder decreased.

---

**Cite this article:** Kamali, S., Kashaninejad, M., Jafari, S.M., Ghorbani, M. 2023. Effect of operating parameters on the physical and flow properties of spray dried low-phenylalanine whole camel milk: A response surface methodology approach. *Food Processing and Preservation Journal*, 15(2), 103-124.



© The Author(s).

DOI: 10.22069/FPPJ.2023.20968.1735

Publisher: Gorgan University of Agricultural Sciences and Natural Resources

---

### بررسی اثر پارامترهای عملیاتی در خشک کن پاششی بر ویژگی‌های جریان‌پذیری شیر خشک شتر کامل کم فنیل آلانین به روش سطح پاسخ

ساناز کمالی<sup>۱</sup>, مهدی کاشانی نژاد<sup>۲\*</sup>, سیدمهدي جعفری<sup>۳</sup>, محمد قربانی<sup>۳</sup>

<sup>۱</sup> دانشجوی دکتری، گروه مهندسی فرآیندهای غذایی، دانشکده علوم و صنایع غذایی، دانشگاه علوم کشاورزی و منابع طبیعی گرگان، گرگان، ایران  
<sup>۲</sup> استاد، گروه مهندسی فرآیندهای غذایی، دانشکده علوم و صنایع غذایی، دانشگاه علوم کشاورزی و منابع طبیعی گرگان، گرگان، ایران، رایانه: kashani@gau.ac.ir  
<sup>۳</sup> دانشیار، دانشکده علوم و صنایع غذایی، دانشگاه علوم کشاورزی و منابع طبیعی گرگان، گرگان، ایران

#### اطلاعات مقاله چکیده

**نوع مقاله:** سایقه و هدف: شیرشتر دارای خواص تغذیه‌ای و درمانی متعددی است. از جمله به دلیل عدم وجود بتالاکتوگلوبولین در شیرشتر، مصرف آن سبب بروز واکنش‌های حساسیتی به ویژه در کودکان نمی‌شود. فنیل‌کتونوریا بیماری متابولیک ارثی است که بیماران مبتلا به این عارضه قادر به متابولیزه کردن اسیدآمینه فنیل آلانین نیستند. شدیدترین عارضه بالینی این بیماری بروز عقب ماندگی ذهنی غیرقابل بازگشت می‌باشد. در حال حاضر استفاده از منابع غذایی بدون فنیل آلانین تنها راه درمان این بیماری می‌باشد. لذا هدف از این پژوهش، تولید شیرشتر کامل کم فنیل آلانین جهت استفاده در برنامه غذایی بیماران مبتلا به فنیل‌کتونوریا بود.

مقاله کامل علمی-پژوهشی  
تاریخ دریافت: ۱۴۰۱/۱۰/۲۲  
تاریخ ویرایش: ۱۴۰۲/۰۴/۲۱  
تاریخ پذیرش: ۱۴۰۲/۰۴/۲۸

#### واژه‌های کلیدی:

**مواد و روش‌ها:** شیرشتر مورد استفاده در این پژوهش از شترهای نژاد دروما-ریوس (تک کوهانه) بومی استان گلستان تهیه و در ابتدا میزان اسیدآمینه فنیل آلانین آن به روش HPLC اندازه‌گیری شد. سپس شیر کامل شتر با استفاده از دو نوع پروتئاز حاصل از آسپرژیلوس اوریزا و پاپایین به سه روش آنزیم زنی تحت هیدرولیز آنزیمی قرار گرفتند. روش بهینه حذف اسیدآمینه فنیل آلانین از شیرشتر کامل با محاسبه مقایسه آنالیز واریانس و کارایی حذف فنیل-آلانین تعیین شد. این نمونه در خشک کن پاششی با سه متغیر دمای ورودی در سه سطح ۱۲۰، ۱۴۰ و ۱۶۰°C و دبی جریان خوراک در سه سطح ۱۵، ۲۰ و ۲۵ mL/min در سه سطح پاسخ<sup>۱</sup> و آزمون باکس-بنکن<sup>۲</sup> استفاده شد.

شیر خشک شتر کم فنیل آلانین  
جریان‌پذیری  
نسبت هاستر  
شاخص کار  
رنگ

**یافته‌ها:** نتایج این پژوهش نشان داد با استفاده از روش ترکیب دو آنزیم آسپرژیلوس اوریزا و پاپایین با مقدار مساوی و استفاده از کربن فعال ۹/۰ گرم به ازای گرم پروتئین، کاهش ۹۹/۳۳ درصدی در محتوای اسیدآمینه فنیل آلانین در شیرشتر کامل مشاهده گردید. نمونه شیرشتر هیدرولیز شده با کمترین میزان فنیل آلانین در خشک کن پاششی در محدوده دمای ۱۲۰ تا ۱۶۰°C

<sup>1</sup> Response Surface Methodology(RSM)

<sup>2</sup> Box-Behnken

و سه دبی جریان خوراک ۴۰۰ mL/min تا ۸۰۰ mL/min و سه دبی جریان هوا ۱۵ تا ۲۵ m<sup>3</sup>/h خشک شد. نتایج نشان داد پارامترهای خشک کردن بر خصوصیات جریان‌پذیری شیرخشک شتر کامل کم فنیل‌آلین تولیده شده شامل دانسیته توده‌ای و ضربه‌ای، زاویه‌های ریپوز پر و تخلیه، پخش‌شوندگی، خیس‌شوندگی، پیوستگی، توزیع اندازه ذرات و پارامترهای رنگی تاثیر دارد.

**نتیجه‌گیری:** آنالیز واریانس نتایج نشان داد اثر دمای ورودی خشک‌کن پاششی بر دانسیته توده‌ای و ضربه‌ای شیرخشک شتر کامل بدون فنیل‌آلین معنی‌دار بود ( $p < 0.05$ ). به طوری که بیشترین دانسیته توده‌ای و ضربه‌ای مربوط به نمونه خشک شده در دمای ۱۲۰°C و دبی جریان خوراک ۶۰۰ mL/min و دبی جریان هوا ۲۵ m<sup>3</sup>/h با مقدار ۵۲۰ kg/m<sup>3</sup> و ۶۳۰ kg/m<sup>3</sup> بود و کمترین مقدار به ترتیب با مقدار ۱۷۲ kg/m<sup>3</sup> و ۳۴۰ kg/m<sup>3</sup> مربوط به نمونه خشک شده در دمای ۱۴۰°C و دبی جریان خوراک ۸۰۰ mL/min و دبی جریان هوا ۱۵ m<sup>3</sup>/h اندازه‌گیری شد. جریان‌پذیری نمونه‌های شیرخشک شتر بدون فنیل‌آلین با استفاده از شاخص کار نشان داد نمونه خشک شده در دمای ۱۶۰°C و دبی جریان خوراک ۶۰۰ mL/min و دبی جریان هوا ۲۰ m<sup>3</sup>/h از جریان‌پذیری خیلی خوبی برخوردار بود و پیوستگی همین نمونه بر اساس نسبت هاسنر نیز در طبقه پودر با پیوستگی خیلی خوب قرار داشت. زاویه ریپوز پر کردن با میزان چسبندگی پودرها ارتباط مستقیم داشت به طوری که با افزایش چسبندگی پودرها زاویه ریپوز پر کردن افزایش یافت. زاویه ریپوز تخلیه نیز با جریان‌پذیری نمونه‌ها رابطه معکوس داشت و با کاهش زاویه ریپوز جریان‌پذیری محصول با سهولت بیشتری انجام شد. افزایش دمای ورودی خشک کن پاششی نیز سبب افزایش اندازه ذرات پودر، میزان \*a\* و \*b\* شد در حالی که از میزان \*L\* نمونه شیرخشک شتر کامل کم فنیل‌آلین کاست.

استناد: کمالی، س.، کاشانی‌نژاد، م.، جعفری، س.م.، قربانی، م. (۱۴۰۲). بررسی اثر پارامترهای عملیاتی در خشک‌کن پاششی بر ویژگی‌های جریان‌پذیری شیرخشک شتر کامل کم فنیل‌آلین به روش سطح پاسخ. فرآوری و نگهداری مواد غذایی، ۱۵(۲)، ۱۲۴-۱۰۳.

DOI: 10.22069/FPPJ.2023.20968.1735



© نویسندهان.

ناشر: دانشگاه علوم کشاورزی و منابع طبیعی گرگان

## مقدمه

انسان دارد و پروتئین های موجود در آن برای پیشگیری و درمان آلرژی های غذایی مناسب هستند. علت غیر آلرژیک بودن شیرشتر را به نداشتن بتا لاکتوگلوبولین و لاکتوکازین دو ترکیب عمدۀ ایجاد آلرژی در شیر گاو نسبت داده‌اند درنتیجه می‌توان از شیرشتر برای تغذیه نوزادان و کودکان به ویژه کودکان مبتلا به هایپرآلرژی استفاده کرد (۶). استفاده از خشک‌پاششی یکی از روش‌های موثر در بالا بردن زمان نگهداری شیر می‌باشد. خشک کردن افشاهانه‌ای یا پاششی نوعی روش می‌باشد. خشک کردن مواد غذایی می‌باشد که از اسپری کردن موادغذایی و مجاورت آنها با یک عامل گازی شکل داغ برای تهیه گرانول‌ها و یا ذرات ریز استفاده می‌شود (۷ و ۸). خشک کردن با خشک‌کن پاششی پرکاربردترین روش تجاری خشک کردن موادغذایی محسوب می‌شود زیرا در زمان بسیار کوتاه با تماس حرارتی و نرخ بالای تبخیر و نیز صرف هزینه کم محصولی با کیفیت بالا تولید می‌شود. استفاده از تکنولوژی خشک کن پاششی در فرآیند خشک کردن محصولات غذایی و دارویی با هدف ارتقاء کیفی محصول تولیدی، امروزه کاربرد زیادی در تحقیقات آزمایشگاهی و همچنین در عرصه صنعتی پیدا کرده است. بر اساس تحقیقات انجام شده می‌توان فرآیند خشک کردن توسط خشک‌کن پاششی را یکی از بهترین و تجاری‌ترین روش برای خشک کردن سیالات غذایی خصوصاً شیر دانست (۹). خشک‌کن پاششی در صنعت لبنی به منظور تولید محصولات مختلف از قبیل پودر پروتئین شیر، پودر کازین، پودر شیر خشک مورد استفاده قرار می‌گیرد. عواملی که در تولید به روش خشک کن پاششی موثر می‌باشد شامل: دمای هوای ورودی، دمای هوای خروجی، فشار افشاهانه، ماده خشک کل، سرعت تغذیه، نوع و طراحی نازل می‌باشد (۱۰). دلیل عمدۀ تولید شیر خشک افزایش عمر مفید و تسهیل نگهداری و جابجایی آن می‌باشد. به

تاکنون پروتئین‌های هیدرولیز شده به‌طور گسترده‌ای به عنوان منبع نیتروژنی برای افرادی که نیازهای تغذیه‌ای یا فیزیولوژیک خاص دارند مورد استفاده قرار گرفته است. یکی از مهمترین دستاوردهای مهم در صنعت تولید مواد غذایی تولید منابع پروتئینی عاری از اسیدآمینه فنیل‌آلانین برای مصرف بیماران مبتلا به فنیل‌کتونوریا می‌باشد. بیماری فنیل‌کتونوری یک نقص ژنتیکی نادر در بدن انسان است. اختلالات اصلی ایجاد شده در این بیماری، به واسطه تجمع اسیدآمینه فنیل‌آلانین به دلیل عدم وجود آنزیم فنیل‌آلانین هیدروکسیلاز برای تبدیل اسیدآمینه فنیل‌آلانین موجود در موادغذایی به اسیدآمینه تیروزین در مایعات بدن و سیستم عصبی رخ می‌دهد. تجمع بیش از حد این اسیدآمینه در مغز باعث عقب ماندگی ذهنی غیرقابل بازگشت در کودکان می‌شود (۱ و ۲). یکی از منابع خوب پروتئینی جهت استفاده در رژیم غذایی شیرشتر می‌باشد. تحقیقات متعدد نشان داده‌است شیرشتر دارای خواص تغذیه‌ای و درمانی زیادی است. به طوری که شیرشتر با داشتن مقدار مناسبی از پروتئین‌های سیستم ایمنی از قبیل لاکتوفرین، لاکتوپراکسیداز، ایمونوگلوبولین و لیزوژیوم می‌تواند در پیشگیری و درمان بیماری‌ها موثر باشد از جمله گزارش شده‌است شیرشتر با دارا بودن ایمونوگلوبولین‌های سازگار با بدن انسان در درمان بیماری‌های مرتبط با سیستم ایمنی از قبیل اوتویسم موثر می‌باشد (۳ و ۴). نتایج تحقیقات انجام شده جهت بررسی تاثیر شیرشتر بر روی انواع سرطان نشان داد آفالاکتوآلبو مین موجود در آن با داشتن مقدار متفاوت از اسیدهای آمینه در زنجیره خود در پیشگیری و درمان تومور و سرطان کمک کننده می‌باشد (۵). از دیگر خواص درمانی شیرشتر می‌توان به ضدآلرژیک بودن آن اشاره کرد. شیرشتر از نظر ترکیبات بیشترین شباهت را به شیر

۱۵۰ درجه سانتی گراد، دبی جریان هوا ۲۱۰۰۰، ۲۲۵۰۰ و ۲۴۰۰۰ rpm و دبی جریان خوراک ۲/۸۰ و ۲/۳۰ lit/h در خشک کن پاششی جهت خشک کردن نوپال موسیلاژ (یک کربوهیدرات با قدرت جذب آب بالا) نتایج نشان داد کاهش میزان دمای ورودی سبب کاهش دانسیته توده‌ای نمونه‌ها شد که احتمالاً به دلیل سرعت بالاتر خشک شدن در دمای بالاتر، ذرات خشک شده دارای سطح بیشتری می‌باشند که این خود سبب کاهش دانسته توده‌ای در ذرات تولید شده و همچنین سبب تشکیل لایه نفوذناپذیر بر روی سطح ذرات به دنبال تشکیل حباب‌های بخار و درنتیجه انبساط ذرات می‌شود (۱۴). هدف این پژوهش تولید شیرخشک شتر کامل کم فنیل‌آلانین به عنوان منبع پروتئینی برای بیماران فنیل‌کتونوریا در خشک کن پاششی با متغیرهای دمای ورودی، دبی جریان خواک و دبی جریان هوا و بررسی تاثیر آنها بر خصوصیات موثر در میزان جریان پذیری پودر شامل دانسیته‌های توده‌ای و ضربه‌ای، زاویه ریپوز پر و تخلیه، پخش-شوندگی، نسبت هاسنر، اندیس کار، خیس‌شوندگی، توزیع اندازه ذرات و رنگ پودر تولیدی بود.

## مواد و روش‌ها

**مواد اولیه:** شیرشتر کامل از مزرعه نگهداری و پرورش شتر در استان گلستان تهیه شد. پروتئاز آسپرژیلوس اوریزا (شماره کاتالوگ p6110) و پروتئاز پاپایین به دست آمده از شیره پاپایا (شماره کاتالوگ p4763) تولید شده در شرکت سیگما آمریکا از نمایندگی آن در ایران خریداری شد. در این پژوهش از دستگاه خشک کن پاششی درستاتک ایران استفاده شد. دستگاه اندازه‌گیری دانسیته ضربه‌ای<sup>۱</sup> مورد استفاده نیز ساخت شرکت دارویی پارت کیمیا گلستان، ایران بود.

طوری که در شرایط نگهداری مناسب در محیط خشک و خنک، پودر شیر کامل ماندگاری ۱۲ ماه و شیر خشک بدون چربی بیش از ۲ سال قابل نگهداری می‌باشد. پودر شیر از نظر میکروبیولوژیکی پایدار و قابل قبول است. تغییرات فیزیکوشیمیایی، مانند کریستالیزاسیون لاکتوز، اکسیداسیون چربی، واکنش-هایی نظیر واکنش مایلار و آنزیمی در طول ذخیره‌سازی کمتر رخ می‌دهد و خواص فیزیکی و عملکردی مانند جریان پذیری، خواص بازسازی، پیوستگی خواص پودر نیز در این خشک کردن تغییر نمی‌کند (۱۰). در تحقیق انجام شده جهت مقایسه دانسیته توده‌ای شیر خشک گاو و شیر خشک شتر در شرایط یکسان در خشک کن پاششی (دمای ورودی ۱۴۰، ۱۷۰ و ۲۰۰ درجه سانتی گراد و دبی خوراک ۶، ۷/۵ و ۹ مترمکعب بر دقیقه)، دانسیته شیر خشک گاو بالاتر از شیر خشک شتر تولیدی گزارش شد (۱۱). در تحقیق دیگر انجام شده جهت مقایسه خصوصیات فیزیکی شیر خشک شتر و شیر خشک گاو خشک شده در خشک کن پاششی در دماهای ورودی ۲۰۰ و ۲۲۰ درجه سانتی گراد نتایج نشان داد افزایش دما ضربیت حلالت را در هر دو نوع شیر کاهش داد که دلیل این امر را به دناتوره شدن پروتئین‌ها نسبت دادند. جریان پذیری پودر شیر شتر و نیز پودر شیر گاو در دمای زیر ۵۰ درجه سانتی گراد در دسته نسبتاً خوب قرار گرفت. رنگ پودر شیر شتر خشک شده تولید شده در این تحقیق زرد روشن‌تر نسبت به شیر گاو بود (۱۲). با بررسی تاثیر دمای هوای ورودی در خشک کن پاششی در فرآیند خشک کردن آب زنجیبل بر روی محتوای رطوبت محصول، اندازه ذرات، حلالت و دانسیته توده‌ای پودر زنجیبل نتایج پژوهش نشان داد با افزایش دمای هوای ورودی، اندازه ذرات و حلالت نمونه‌ها افزایش یافت (۱۳). در تحقیق انجام شده جهت بررسی تاثیر دمای ورودی ۱۲۰، ۱۳۰ و

<sup>۱</sup> Tapped density apparatus

اسید آمینه در شیر کامل شتر شد انتخاب و جهت تولید نمونه های مورد استفاده در خشک کن پاششی مورد استفاده قرار گرفت.

تعیین کارایی حذف فنیل آلانین<sup>۱</sup> برای تعیین میزان کارایی حذف فنیل آلانین پس از سانتریفوژ نمونه های تیمار شده، محلول رویی از کاغذ صافی عبور داده شد و سپس ۱۰ میلی لیتر از مایع زیر صافی روی بن ماری تبخیر و به وسیله اسید کلرید ریک ۵/۷ مول بر لیتر در دمای ۱۰ درجه سانتی گراد به مدت ۲۴ ساعت هیدرولیز شد. باقی مانده در ۱۰ میلی لیتر آب مقطور حل شد. pH با استفاده از محلول فسفات سدیم دی بازیک ۱ مول بر لیتر روی مایع تنظیم شد. محتوای فنیل آلانین نمونه ها با کروماتوگرافی مایع با کارایی بالا<sup>۲</sup> اندازه گیری شد (۱۵) و کارایی حذف فنیل آلانین با معادله ۱ محاسبه گردید:

$$\text{Phe Removal \%} = \frac{A-B}{A} \times 100$$

A: مقدار فنیل آلانین اولیه در شیر شتر قبل از هیدرولیز آنزیمی

B: مقدار فنیل آلانین نهایی در شیر شتر بعد از تیمار با کربن فعال

روش آماری انجام آزمایش در مرحله خشک کردن شیر شتر کامل کم فنیل آلانین: برای انجام آزمون ها در مرحله خشک کردن در خشک کن پاششی با توجه به داشتن سه متغیر دمای ورودی، دبی جریان خوراک و دبی جریان هوا در سه سطح از هر کدام (جدول ۱) از روش سطح پاسخ<sup>۳</sup> و آزمون باکس-بنکن<sup>۴</sup> در ۳ سطح و ۴ نقطه مرکزی با استفاده از نرم افزار دیزاین اکسپرت استفاده شد که در جدول ۲ قابل مشاهده می باشد.

آماده سازی نمونه شیر شتر کامل کم فنیل آلانین: جهت تهیه شیر شتر کم فنیل آلانین در این پژوهش از هیدرولیز آنزیمی شیر شتر توسط دو پروتئاز آسپرژیلوس اوریزا و پاپایین به صورت جداگانه و روش ترکیب دو آنزیم استفاده شد. در ابتدا میزان فنیل آلانین شیر شتر با استفاده از ستون C18 کروماتوگرافی مایع با کارایی بالا (۱۵) و نیز درصد چربی و پروتئین نمونه های شیر شتر کامل اندازه گیری شد. pH نمونه ها در محدوده ۶ تنظیم و سپس تحت حرارت اولیه ۸۰ درجه سانتی گراد به مدت ۱۰ دقیقه در حمام آب گرم قرار گرفتند. در ادامه دمای نمونه ها تا ۵۰ درجه سانتی گراد کاهش داده شد. به نمونه های گروه اول پروتئاز آسپرژیلوس اوریزا به نسبت ۱ به ۱۰۰ حجمی / حجمی (آنزیم / سوبسترا) و به نمونه های گروه دوم پروتئاز پاپایین به نسبت ۱ به ۱۰۰ حجمی / حجمی (آنزیم / سوبسترا) اضافه و جهت انجام فرآیند هیدرولیز، نمونه ها به مدت ۵ ساعت در گرمانه با دمای ۵۰ درجه سانتی گراد قرار داده شدند. به نمونه های گروه سوم ابتدا پروتئاز پاپایین به نسبت ۰/۵ به ۱۰۰ حجمی / حجمی اضافه شد و در گرمانه با دمای ۵۰ درجه سانتی گراد به مدت ۱ ساعت قرار داده شدند. سپس به نمونه ها پروتئاز آسپرژیلوس اوریزا به نسبت ۰/۵ به ۱۰۰ حجمی / حجمی زده شد و مجددا به مدت ۴ ساعت در دمای ۵۰ درجه سانتی گراد گرمانه گذاری شدند. پس از اتمام زمان هیدرولیز، به منظور توقف کامل واکنش هیدرولیز، نمونه ها در بن ماری ۹۲ درجه سانتی گراد به مدت ۱۰ دقیقه قرار داده شدند و در پایان دمای نمونه ها تا ۲۰- درجه سانتی گراد پایین آورده شد. پس از اتمام فرآیند هیدرولیز آنزیمی شیر شتر جهت حذف فنیل آلانین آزاد شده، کربن فعال گرانولی با اندازه ذرات ۱ تا ۳ میلی متر به نسبتهای ۰/۹ و ۰/۵ گرم به ازای گرم سوبسترا به نمونه های هیدرولیز شده اضافه گردید (۱۶). در پایان با اندازه گیری کارایی حذف فنیل آلانین، روشنی که سبب بیشترین حذف این

<sup>1</sup> Phenylalanine Removal

<sup>2</sup> High Performance Liquid Chromatography (HPLC)

<sup>3</sup> Response Surface Methodology(RSM)

<sup>4</sup> Box-Behnken

جدول ۱- سطوح متغیرهای مستقل مورد استفاده در فرآیند خشک کردن شیرشتر کامل کم فنیل آلانین

Table 1- Levels of independent variables used in the drying process of low-phenylalanine whole camel milk

سطح کد بندی شده متغیر Variable encoded levels			نام Code	متغیرهای مستقل Independent variables
-1	.	+1		
15	20	25	X <sub>1</sub>	دبی جریان هوا (مترمکعب بر ساعت) Air flow rate (m <sup>3</sup> /h)
120	140	160	X <sub>2</sub>	دمای هوای ورودی به خشک کن پاششی (سانتی گراد) Inlet temperature (°C)
400	600	800	X <sub>3</sub>	دبی جریان خوراک (میلی لیتر بر دقیقه) Feed flow rate (mL/min)

جدول ۲- نحوه انجام آزمون های خشک کردن شیرشتر کامل کم فنیل آلانین به روش سطح پاسخ

Table 2- How to perform drying tests of whole camel milk low in phenylalanine by the response surface method

تبیار	دما ورودی (°C)	دبی جریان خوراک (mL/min)	دبی جریان هوا (m <sup>3</sup> /h)	Air flow rate	Feed flow rate	Inlet temperature	Run
1	140	800	15				
2	160	600	25				
3	140	800	25				
4	140	600	20				
5	160	400	20				
6	120	600	25				
7	120	400	20				
8	160	600	15				
9	140	800	20				
10	140	400	15				
11	160	800	25				
12	160	400	25				
13	160	600	20				
14	160	800	25				
15	120	800	15				
16	120	400	15				

حسب g/cm<sup>3</sup> به دست آمد ( معادله های ۳ و ۴ ) (۱۷). پس از به دست آوردن دانسیته توده ای، استوانه محتوی پودر را روی دستگاه اندازه گیری دانسیته ضربه ای قرار داده و پس از ۱۰۰ ضربه حجم پودر خوانده شد و طبق رابطه ۴ دانسیته ضربه ای بر حسب g/cm<sup>3</sup> محاسبه گردید (۱۸ و ۱۹).

$$\text{رابطه ۳: } \frac{M}{100} = \text{دانسیته توده ای}$$

$$\text{رابطه ۴: } \frac{M}{V} = \text{دانسیته ضربه ای}$$

M: جرم نمونه بر حسب g  
V: حجم نمونه بر حسب cm<sup>3</sup>

اندازه گیری خصوصیات فیزیکی پودر شیرشتر کامل کم فنیل آلانین

دانسیته توده ای<sup>۱</sup> و دانسیته ضربه ای<sup>۲</sup>: برای محاسبه دانسیته توده ای و ضربه ای پودر شیر خشک شتر تولید شده، ابتدا وزن استوانه مدرج ۱۰۰ میلی لیتری ثبت شد. سپس از محصول به آرامی در استوانه مدرج ریخته تا پرشد سپس وزن آن نیز ثبت گردید. جرم خوانده شده از ترازو بر حجم (که به طور مستقیم از استوانه خوانده می شود) تقسیم شد و دانسیته توده بر

<sup>1</sup> Bulk density

<sup>2</sup> Tapped density

اندازه‌گیری جریان‌پذیری<sup>۳</sup>: جریان‌پذیری با استفاده از شاخص کار<sup>۴</sup> طبق معادله ۷ محاسبه شد (۲۲).

رابطه ۷:

$$CI = \frac{\rho_{Tapped} - \rho_{Bulk}}{\rho_{Tapped}} \times 100$$

$\rho_{Tapped}$ : دانسیته ضربه و  $\rho_{Bulk}$ : دانسیته توده می‌باشد.

اندازه‌گیری خیس شوندگی<sup>۵</sup>: ۱۰۰<sup>۶</sup> میلی‌لیتر آب مقطر با دمای ۲۵ درجه سانتیگراد داخل ارلن ریخته، قیف مخصوص روی پایه توری نصب شد. سپس زمان نفوذ کامل ۱/۰۰ گرم پودر داخل آب اندازه‌گیری شد (۲۲).

اندازه‌گیری پیوستگی<sup>۷</sup>: پیوستگی با استفاده از نسبت هاسنر<sup>۸</sup> طبق معادله ۸ محاسبه شد (۲۲).

رابطه ۸:

$$HR = \frac{\rho_{Tapped}}{\rho_{bulk}}$$

اندازه‌گیری توزیع اندازه ذرات<sup>۹</sup>: برای تعیین توزیع اندازه ذرات از سیستم الک تایلور استفاده شد. این سیستم دارای ۶ الک با اندازه منافذ متفاوت بوده که این الکها روی دستگاه ارتعاش‌دهنده و گرداننده که جهت چرخش آن قابل تنظیم می‌باشد قرار داده شد. ابتدا الکها را وزن کرده و به میزان ۱۰۰ گرم پودر روی الک بالایی ریخته و سپس در اثر چرخش سیستم به مدت ۵ دقیقه، پودرها بر حسب اندازه جداسازی شد. پس از جداسازی، هر یک از الکها به همراه پودر وزن شد. سرانجام وزن پودر باقیمانده روی هر الک گزارش که بر وزن کل تقسیم و به صورت درصد بیان شد (۲۰).

اندازه‌گیری زاویه‌های ریپوز<sup>۱</sup> پرکردن و تخلیه: برای اندازه‌گیری زاویه ریپوز تخلیه، مقدار ۱۰ گرم از نمونه را وزن و از درون قیف در ارتفاع ثابت و با قطر مجرای خروجی ۱۲ میلی‌متر عبور داده تا بر یک سطح افقی صاف ریخته شده و تشکیل یک توده داد. زاویه ریپوز از طریق زاویه تشکیل شده به وسیله شیب توده محصول نسبت به سطح مینا محاسبه شد (۲۰).

رابطه ۵:

$$\theta_e = \tan^{-1} \left( \frac{h_2 - h_1}{x_2 - x_1} \right)$$

در این رابطه  $h_1$  و  $h_2$  اختلاف ارتفاع در دو نقطه و  $x_1$  و  $x_2$  فاصله افقی بین این دو نقطه می‌باشد.

برای تعیین زاویه ریپوز پرکردن یک سیلندر بدون سر و ته با قطر ۱۵ و ارتفاع ۲۵ سانتیمتر را در مرکز صفحه دایره‌های به قطر ۳۵ سانتیمتر قرار داده و از نمونه پرشد. سپس استوانه به آرامی برداشته تا مخروطی تشکیل شد (۲۱). زاویه ریپوز پرکردن از معادله ۶ محاسبه گردید:

رابطه ۶:

$$\theta_f = \tan^{-1} \left( \frac{2H}{D} \right)$$

که در این رابطه H ارتفاع بلندترین نقطه کوبه و D قطر کوبه مورد نظرمی‌باشد.

اندازه‌گیری توانایی پخش شوندگی<sup>۲</sup>: ۲۵ گرم از شیر خشک تهیه شده به ۲۵۰ میلی‌لیتر آب در دمای ۲۵ °C اضافه شد و در طی حدود ۲۰ ثانیه همزده تا محلول تشکیل شود. سپس محلول از کاغذ صافی و اتمن شماره ۱ عبور داده شد. با تعیین مقدار ماده خشک روی کاغذ صافی، میزان پودری که حل و پخش شده و از صافی عبور کرده مشخص شد و به صورت درصد به عنوان توانایی پخش شوندگی بیان شد (۲۲).

<sup>3</sup> Flowability

<sup>4</sup> Carr index

<sup>5</sup> Wettability

<sup>6</sup> Cohesiveness

<sup>7</sup> Hausner Ratio

<sup>8</sup> Particle size distribution

<sup>1</sup> Repose Angle

<sup>2</sup> Dispersibility

گزینه‌های تبدیل به فضای رنگی  $L^*a^*b^*$  تنظیم شد. پس از تبدیل فضای رنگی، برای هر یک از کانال‌های جدا شده فضای رنگی  $L^*a^*b^*$ ، مقادیر میانگین پیکسل‌های تصویر محاسبه شد. برای این کار از منوی Analyse Measure گزینه  $L^*a^*b^*$  (روشنایی)،  $a^*$  (قرمزی) و  $b^*$  (زردی) هر یک از تصاویر مربوط به نمونه‌ها در ۵ نقطه از تصویر محاسبه و میانگین آنها گزارش شد (۲۳).

### نتایج و بحث

بهینه‌یابی شرایط تولید شیرشتر کامل هیدرولیز شده با کمترین میزان فنیل‌آلانین: با استفاده از آنالیز واریانس نتایج حاصل از محاسبه کارایی حذف فنیل‌آلانین بهترین روش حذف بیشترین مقدار اسیدآمینه فنیل‌آلانین از شیرکامل شتر تعیین شد. همانطور که در جدول ۳ قابل مشاهده است استفاده همزمان پروتئاز پاپایین و آسپرژیلوس اوریزا و سپس استفاده از کربن فعال به میزان ۰/۹ گرم به ازای گرم سوبسترا (H3) نسبت به استفاده از پروتئاز آسپرژیلوس اوریزا به تنهایی (H1) و پاپایین به تنهایی (H2) بیشترین تاثیر را در حذف فنیل‌آلانین داشت. در نتیجه از این نمونه در خشک‌کن پاششی استفاده شد.

اندازه‌گیری پارامترهای رنگی: به منظور بررسی و آنالیز خصوصیات رنگی شیرخشک شتر کامل کم فنیل‌آلانین از فضای رنگ  $L^*a^*b^*$  استفاده شد. مولفه  $L^*$  نشان‌دهنده میزان روشی نمونه می‌باشد و دامنه آن از صفر (سیاه خالص) تا ۱۰۰ (سفید خالص) متغیر است. مقادیر مولفه  $a^*$  بین منفی ۱۲۰ تا مثبت ۱۲۰ قرار دارد که مقادیر مثبت معادل رنگ قرمز و مقادیر منفی معادل رنگ سبز می‌باشد. مقادیر  $b^*$  نیز مانند مولفه  $a^*$  می‌باشد و مقادیر منفی معادل رنگ آبی و مقادیر مثبت معادل رنگ زرد است. به منظور بررسی خصوصیات رنگی پودر شیرخشک شتر هیدرولیز شده پس از انجام فرآیند خشک‌کردن، نمونه‌ها درون دسیکاتور خنک شدند. سپس پودر تولید شده به صورت یکنواخت درون یک پلیت کاملاً شفاف قرار EOS 700D Kit داده شد و از آنها با دوربین کانن مدل IS 18-55mm عکس برداری شد. تمامی عکس‌ها با فرمت JPEG و کیفیت بالا ذخیره شدند. سپس توسط نرم‌افزار ImageJ به وسیله برنامه افزودنی که جداگانه نصب و به برنامه اضافه شد با عنوان Color Space Converter تصاویر به فضای  $L^*a^*b^*$  تبدیل گردید. برای این منظور پس از باز نمودن عکس در فضای برنامه ImageJ از منو گزینه plugin گزینه Color Space Converter را انتخاب نموده،

جدول ۳- کارایی حذف اسیدآمینه فنیل‌آلانین در شیرشتر کامل هیدرولیز شده با پروتئاز و کربن فعال

Table 3- Phenylalanine Removal of hydrolyzed whole camel milk by proteases and activated carbon

Removal Phenylalanine (%)	The final amount of phenylalanine (mg/100mg protein)	Enzymatic hydrolysis
94.68 <sup>a</sup> ±1.69	0.007±0.07	H1
86.51 <sup>b</sup> ±4.11	0.02±0.05	H2
99.33 <sup>c</sup> ±0.21	0.0011±0.01	H3

\* کلیه اعداد، میانگین  $\pm SD$  حاصل از سه تکرار می‌باشند.

\* All numbers are the mean  $\pm SD$  of three replicates

\* مقادیر دارای حروف متفاوت، با یکدیگر اختلاف معنی‌دار دارند ( $P < 0.05$ ).

\*Values with different letters are significantly different from each other ( $P < 0.05$ )



جدول ۴- آنالیز کیفی نمونه‌های شیر کامل شتر هیدرولیزشده با پروتئاز

Table 4- Qualitative analysis of hydrolyzed whole camel milk with proteases

Total protein (%)	پروتئین کل (%)	ماده خشک (%)	pH	نوع تیمار
0.14±0.005		5.74±0.007	6.07±0.001	H1
1.62±0.008		6.94±0.002	6.04±0.004	H2
0.5±0.001		6.4±0.004	5.91±0.001	H3

\* کلیه اعداد، میانگین  $\pm$  SD حاصل از سه تکرار می‌باشند.

\* All numbers are the mean  $\pm$  SD of three replicates

شده در دمای ۱۶۰°C می‌توان نسبت داد که از میزان تخلخل داخل ذرات پودر حاصل کاسته شده درنتیجه دانسیته توده‌ای نمونه‌های تولید شده در دمای ۱۶۰°C نسبت به نمونه‌های تولید شده در دمای ۱۴۰°C بیشتر بود. گلوبول‌های چربی موجود در شیر معمولاً از نظر قطر بزرگتر از میسل‌های کازئین هستند که خود سبب ایجاد تفاوت در تراکم شیر بدون چربی و شیر کامل می‌شود. تحقیقات نشان داده است تراکم شیر بدون چربی که تحت تاثیر میسل‌های کازئین است، بیشتر از تراکم شیر کامل می‌باشد. قطرات شیر شتر بدون چربی حاوی مواد جامد (و بنابراین جرم) بیشتری در هر حجم می‌باشد. در نتیجه، پودرهای شیر شتر بدون چربی دانسیته توده‌ای بالاتری نسبت به پودرهای شیر کامل دارد. به طور کلی افزایش محتوای کل مواد جامد شیر باعث افزایش دانسیته توده‌ای پودر نهایی می‌شود (۲۴).

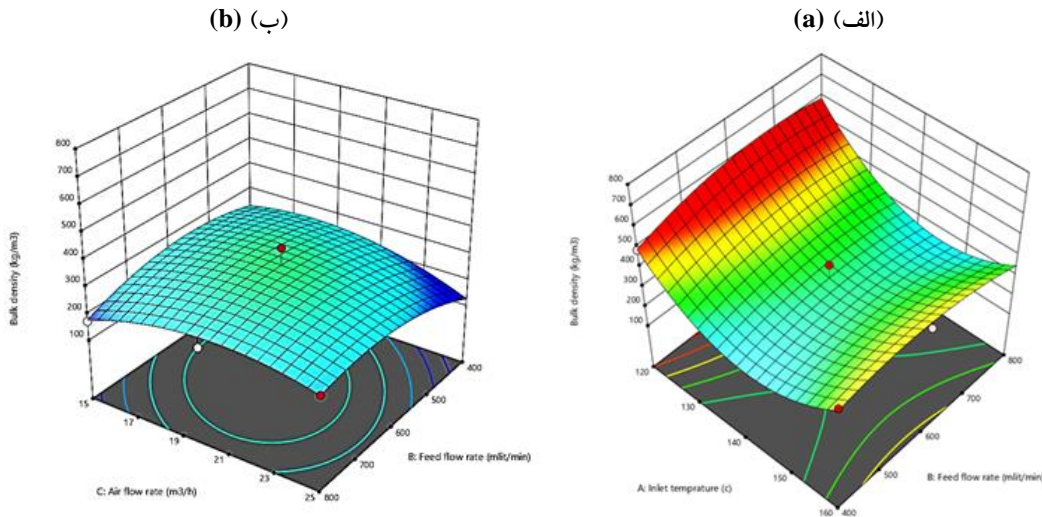
در تحقیق مشابه انجام شده بر تاثیر پارامترهای دمای ورودی ۱۴۰، ۱۷۰ و ۲۰۰ درجه سانتی‌گراد و ۴ سطح دبی جریان هوا در محدوده ۶ تا ۹  $m^3/min$  بر دانسیته توده‌ای شیرشتر و شیر گاو نتایج نشان داد تاثیر پارامتر دمای ورودی بر دانسیته توده‌ای هر دو نوع پودر تولیدی معنی دار بود. ارتباط محتوای چربی نمونه‌ها با دمای مختلف ورودی در خشک‌کن پاششی می‌تواند مربوط به تغییر اندازه قطرات شیر باشد که در طی اتمایز شدن در نتیجه حذف چربی ایجاد می‌شود (۲۵). زمانی که دمای خشک‌کردن از دمای بحرانی بالاتر می‌رود به

آنالیز کیفی نمونه‌های شیرشتر هیدرولیزشده با پروتئاز: نتایج آزمون کیفی نمونه‌های شیرشتر هیدرولیز شده تولیدشده در شرایط بهینه (H3) و دو روش دیگر مورد استفاده در پژوهش (H1 و H2) در جدول ۴ قابل مشاهده می‌باشد.

مقدار دانسیته توده‌ای شیر خشک شتر کامل کم فنیل آلانین: آنالیز واریانس نتایج پژوهش نشان داد اثر دمای ورودی بر دانسیته توده‌ای شیر خشک شتر هیدرولیزشده معنی دار بود ( $p < 0.05$ ). در حالی که تاثیر پارامترهای دبی جریان خوراک و دبی جریان هوا مورد استفاده در پژوهش و نیز اثر متقابل آنها بر مقدار دانسیته توده‌ای شیر خشک شتر هیدرولیزشده معنی دار نبود ( $p \geq 0.05$ ). همانطور که در شکل ۱ قابل مشاهده می‌باشد بیشترین دانسیته توده‌ای شیر خشک شتر هیدرولیزشده به دست آمده در این پژوهش  $520 kg/m^3$  بود که مربوط به نمونه شیر خشک شتر هیدرولیزشده در دمای ۱۲۰°C و دبی جریان خوراک  $600 mL/min$  و دبی جریان هوا  $25 m^3/h$  می‌باشد و کمترین میزان به دست آمده آن  $172 kg/m^3$  بود که مربوط به نمونه تولیدشده در دمای ۱۴۰°C و دبی جریان خوراک  $800 mL/min$  و دبی جریان هوا  $15 m^3/h$  می‌باشد. با توجه به اینکه دانسیته توده‌ای پودر شیر به طور مستقیم با ترکیب و توزیع اندازه ذرات آن مرتبط است دلیل این امر را به وجود لایه چربی بر روی ذرات شیرشتر کامل مورد استفاده در پژوهش و عدم خروج رطوبت از نمونه‌های تولید

درنتیجه ادامه این روند، دانسیته توده‌ای پودر شیرستر و شیرگاو کاهش می‌یابد (۱۹).

دلیل افزایش نیروهای تنفس داخلی، سطح ذرات شکسته شده و تبخیر آب افزایش می‌یابد که سبب افزایش حجم آزاد درون ذرات پودر شیر شده و



شکل ۱. اثر متقابل دمای هوای ورودی (°C) و دبی جریان خوراک (mL/min) و دبی جریان هوا (m³/h) (ب) در خشک کن پاششی بر مقدار دانسیته توده‌ای شیرخشک شتر کامل کم فنیل آلانین

Figure 1. The interaction effect of inlet air temperature (°C) and feed flow rate (mL/min) (a) and the interaction effect of feed flow rate (mL/min) and air flow rate (m³/h) (b) in spray dryer on the bulk density of low-phenylalanine whole camel milk powder

است بیشترین مقدار دانسیته ضربه‌ای اندازه‌گیری شده در این پژوهش  $630 \text{ kg/m}^3$  بود که مربوط به نمونه شیرخشک شتر هیدرولیز شده تولیدی در دمای  $120^\circ\text{C}$  درجه سانتی‌گراد و دبی جریان خوراک  $600 \text{ mL/min}$  و دبی جریان هوا  $25 \text{ m}^3/\text{h}$  بود و کمترین میزان آن  $340 \text{ kg/m}^3$  اندازه‌گیری شد که مربوط به نمونه‌های تولید شده در دمای  $140^\circ\text{C}$  درجه سانتی‌گراد و دبی جریان خوراک  $800 \text{ mL/min}$  و دبی جریان هوا  $20 \text{ m}^3/\text{h}$  بود.

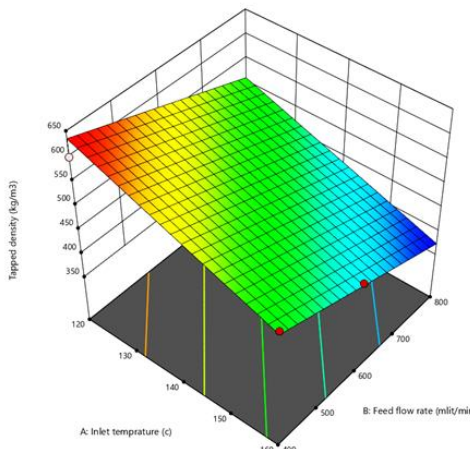
یکی از عوامل موثر در دانسیته ضربه‌ای، اندازه ذره تولید شده می‌باشد، به این ترتیب که اگر درصد ذرات درشت موجود در پودر بیشتر باشد در اثر ضربه، حجم تغییر زیادی پیدا نمی‌کند، بنابراین دانسیته ضربه‌ای نمونه کوچک‌تر می‌باشد. اما اگر علاوه بر ذرات درشت، ذرات ریز هم با نسبت مشابه در پودر

تحقیقات نشان داده است که پودرهای شیرستر دانسیته توده‌ای بالاتری نسبت به پودر شیر گاو دارند. که ممکن است به دلیل تغییر در اندازه و توزیع اندازه کروی شکل چربی باشد (۲۶). در بررسی دیگر انجام شده بر روی تاثیر دمای ورودی در خشک کن پاششی بر خشک کردن شیر خر هندی، بررسی‌ها نشان داد پارامتر دمای ورودی در خشک کن پاششی تاثیر معنی‌داری بر دانسیته توده‌ای محصول نهایی داشت (۱۷).

مقدار دانسیته ضربه‌ای شیرخشک شتر کامل کم فنیل آلانین : آنالیز واریانس نتایج حاصل نشان داد تاثیر پارامترهای دمای ورودی و دبی جریان خوراک بر دانسیته ضربه‌ای معنی دار بود ( $p < 0.05$ ), در حالی که تاثیر پارامتر دبی جریان هوای مورد استفاده در پژوهش و نیز اثر همزمان و متقابل پارامترها معنی دار نبود ( $p \geq 0.05$ ). همانطور که در شکل ۲ قابل مشاهده

پایین‌تر بیشتر است و نیز در دمای بالاتر پوسته بر روی ذرات با سرعت بیشتری شکل می‌گیرد درنتیجه چروکیدگی در ذرات کمتر ایجاد می‌شود و ساختار متخلخل پیدا می‌کند. این امر سبب افزایش اندازه ذرات در درجه حرارت بالاتر خشک کردن می‌شود (۲۷).

وجود داشته باشد در اثر ضربه، ذرات ریز فضای بین ذرات درشت را اشغال کرده و درنتیجه تغییر حجم زیادی اتفاق می‌افتد و دانسیته ضربه‌ای پودر تولیدی بیشتر می‌شود. تحقیقات نشان داده است با افزایش درجه حرارت خشک‌کردن، تخلخل پودرهای تولیدشده در دمای



شکل ۲. اثر متقابل دمای هوای ورودی (°C) و دبی جریان خوراک (mL/min)

در خشک کن پاششی بر دانسیته ضربه‌ای شیرخشک شترکامل کم فنیل آلانین

Figure 2. The interaction effect of inlet air temperature (°C) and feed flow rate (mL/min) in a spray dryer on the tapped density of low-phenylalanine whole camel milk powder.

جهت تسهیل در جابجایی، فرآیند کردن و کاربرد نهایی فراورده اهمیت زیادی دارد. قابلیت جریان‌پذیری معمولاً به خصوصیت فیزیکی پودرها نظری اندازه ذرات، شکل ذرات، ساختار سطحی، دانسیته ذره، دانسیته توده‌ای، میزان رطوبت، درجه حرارت و میزان چربی ماده بستگی دارد. قابلیت جریان‌پذیری پودر با شاخص کار که این شاخص با قابلیت جریان رابطه معکوس دارد سنجیده می‌شود، به طوری که هرچه شاخص کار پودر افزایش یابد قابلیت جریان‌پذیری پودر ضعیفتر می‌شود (۲۸).

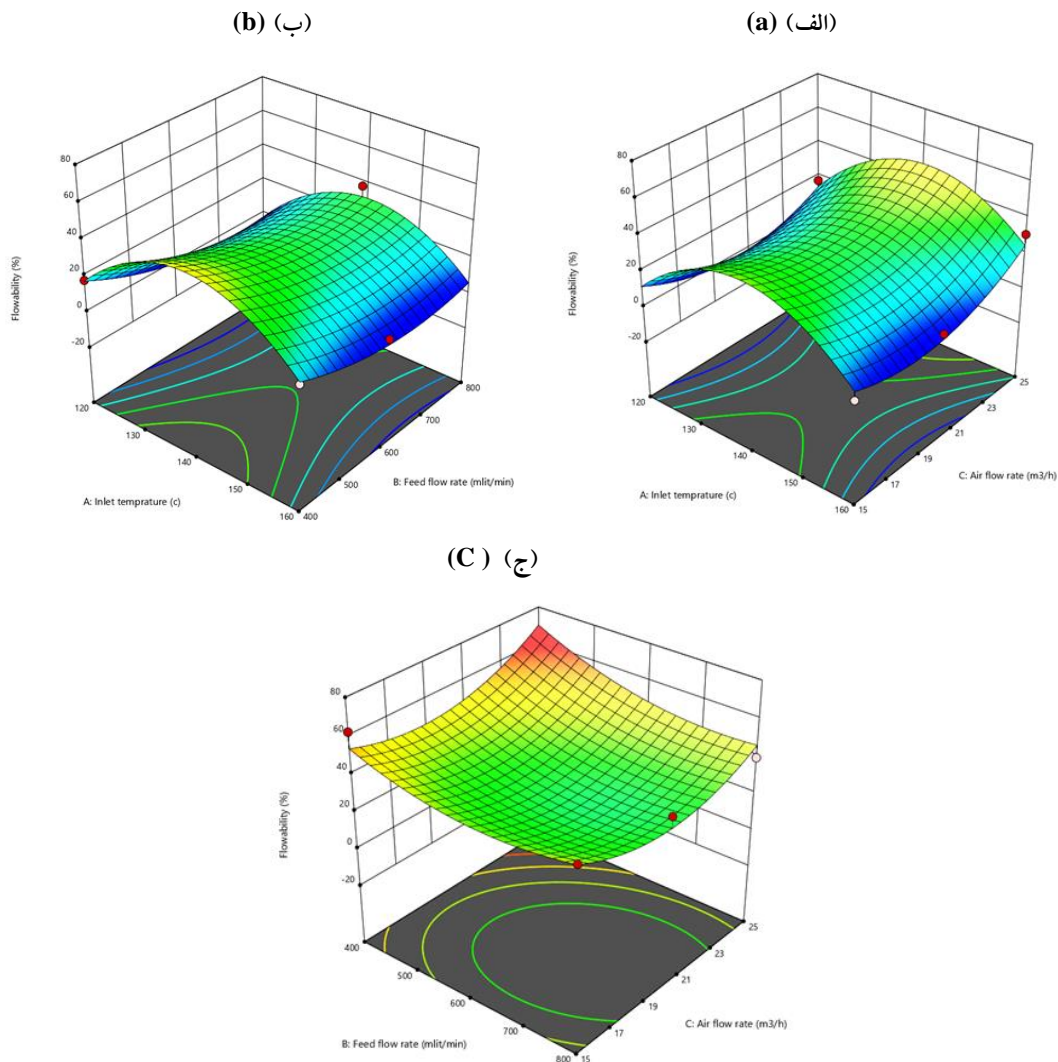
جدول ۵ طبقه‌بندی جریان‌پذیری پودرها را بر اساس شاخص کار نشان می‌دهد. بر اساس این طبقه‌بندی نمونه شیرخشک شترکامل کم فنیل آلانین تولیدی در دمای ۱۶۰°C و دبی جریان خوراک ۶۰۰ mL/min با داشتن

مقدار جریان‌پذیری<sup>۱</sup> شیرخشک شترکامل کم فنیل- آلانین: بررسی آنالیز واریانس نتایج به دست آمده از مقدار جریان‌پذیری شیرخشک شترکامل کم فنیل آلانین محاسبه شده بر اساس شاخص کار نشان داد اثر سطوح پارامتر دبی جریان خوراک استفاده شده در این پژوهش بر میزان جریان‌پذیری نمونه‌ها معنی‌دار بود ( $p < 0.05$ ). در حالی که تاثیر پارامتر دمای ورودی و دبی جریان هوا مورد استفاده در پژوهش به تنها یک و نیز اثر همزمان و متقابل آنها بر جریان‌پذیری نمونه‌ها معنادار نبود ( $p \geq 0.05$ ). همانطور که در شکل ۳ قابل مشاهده است با افزایش دمای ورودی در خشک‌کن پاششی شاخص کار کاهش یافت درنتیجه جریان‌پذیری نمونه‌ها افزایش پیدا کرد. جریان‌پذیری پودرها

<sup>1</sup> Flowability

شاخص کار آن ۴۶/۱ بود می باشد که طبق جدول ۵ جزو دسته پودرهای با جریان‌پذیری خیلی بد محسوب می شود.

درصد شاخص کار ۶/۳۶ جریان‌پذیری خیلی خوبی داشت. کمترین میزان جریان‌پذیری مربوط به نمونه های خشک تولید شده در دمای ۱۴۰°C و دبی جریان خوراک ۸۰۰ mL/min و دبی جریان هوا ۱۵m<sup>3</sup>/h که



شکل ۳- تاثیر اثر متقابل دمای هوای ورودی (°C) و دبی جریان خوراک (mL/min) (الف)، تاثیر اثر متقابل دمای هوای ورودی (°C) و دبی جریان هوا (m<sup>3</sup>/h) (ب) و تاثیر دبی جریان خوراک (mL/min) (mL/min) و دبی جریان هوا (m<sup>3</sup>/h) در خشک کن پاششی بر جریان‌پذیری شیرخشک شتر کامل کم فنیل‌آلانین (ج)

Figure 3. The interaction effect of inlet air temperature (°C) and feed flow rate (mL/min) (a), the interaction effect of inlet air temperature (°C) and air flow rate (m<sup>3</sup>/h) (b) and the effect of feed flow rate (mL/min) and air flow rate (m<sup>3</sup>/h) (c) in spray dryer on the flowability of low-phenylalanine whole camel milk powder

جدول ۵- طبقبندی جریان‌پذیری پودرها بر اساس شاخص کار (CI) (۲۹)

Table 5- Classification of flowability of powders based on Carr index (CI)

CI%	جريانپذیری Flowability
<15	خیلی خوب Very good
15 - 20	خوب Good
20 - 35	نسبتاً خوب Fair good
35 - 45	بد Bad
>45	خیلی بد Very bad

یکی از عوامل موثر در پیوستگی پودر تولید شده در زمان خشک کردن، سطح تماس بین ذرات می باشد. با توجه به اینکه با افزایش دمای ورودی در فرآیند خشک کردن ذرات با اندازه بزرگتر تشکیل می شوند درنتیجه سطح تماس کمتری بین آنها به وجود می آید این امر سبب کاهش میزان پیوستگی پودر تولید شده می شود. از دیگر دلایل کاهش پیوستگی پودرها با افزایش دما ورودی خشک کن می توان به کاهش رطوبت نمونه ها اشاره کرد که این امر سبب کاهش ایجاد پل مایع بین ذرات و کاهش چسبندگی پودر تولیدی می شود (۳۱).

برطبق جدول ۶ طبقه بنده پیوستگی پودر شیرخشک شتر کامل کم فنیل آلانین تولید شده در این پژوهش در دمای  $160^{\circ}\text{C}$ ، دبی جريان خوراک  $600\text{ mL/min}$  و دبی جريان هوا  $20\text{ m}^3/\text{h}$  با نسبت هاسنر معادل ۱ نمونه خیلی خوب محسوب می شود. همانطور که در جدول ۷ قابل مشاهده است پیوستگی نمونه تولید شده در دمای  $140^{\circ}\text{C}$  و دبی جريان خوراک  $800\text{ mL/min}$  و دبی جريان هوا  $15\text{ m}^3/\text{h}$  با نسبت هاسنر  $1/8$  در طبقه پودرها با پیوستگی خیلی خیلی بد قرار می گیرد.

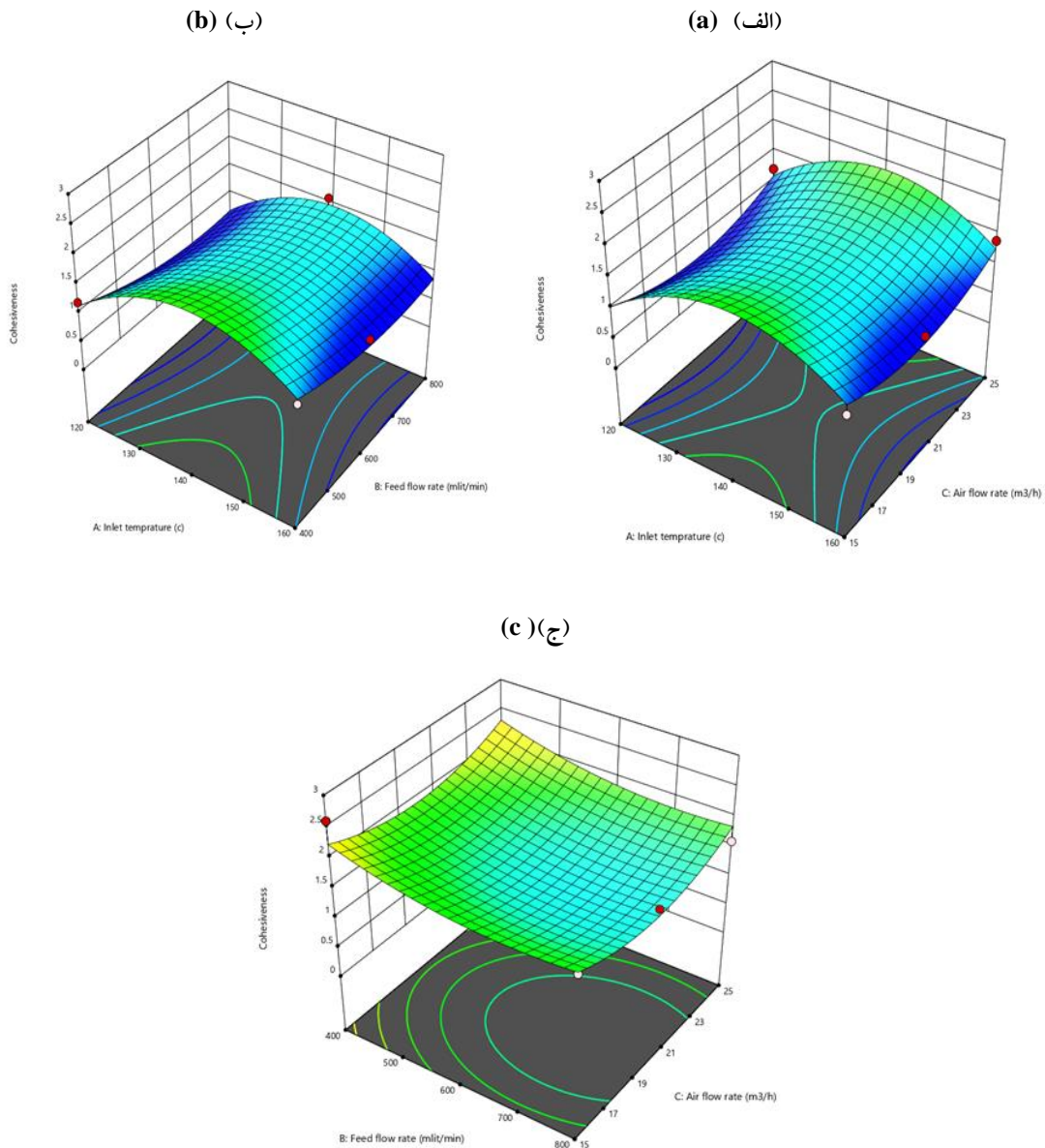
تأثیر قابل ملاحظه ای می گذارد. به طوری که انتظار می رود با افزایش میزان چربی آزاد، پیوستگی نیز

مقدار پیوستگی شیرخشک شتر کامل کم فنیل آلانین: بررسی نتایج حاصل از آنالیز واریانس مقادیر محاسبه شده پیوستگی شیرخشک شتر کامل کم فنیل آلانین تولید شده در این پژوهش بر اساس ضریب هاسنر نشان داد اثر سطوح پارامترهای دمای ورودی، دبی جريان خوراک و دبی جريان هوا مورد استفاده در پژوهش به تنها یک و نیز اثر همزمان و متقابل آنها بر میزان چسبندگی پودرهای تولید شده معنادار نبود ( $p \geq 0.05$ ). همانطور که در شکل ۴ قابل مشاهده است مقادیر چسبندگی نمونه ها از  $120^{\circ}\text{C}$  تا  $140^{\circ}\text{C}$  روند افزایشی و سپس با افزایش دما تا  $160^{\circ}\text{C}$  کاهش یافت. احتمالاً این افزایش به دلیل استفاده از شیر شتر کامل در پژوهش می باشد. تحقیقات نشان داده است میزان چربی تاثیر قابل ملاحظه ای بر پیوستگی پودر تولید شده در خشک کن پاششی دارد. این پدیده مخصوصاً در درجه حرارت های بالاتر به دلیل مایع شدن بیشتر چربی و تشکیل پل مایع شدیدتر می باشد. به همین دلیل پیوستگی پودر شیر کامل نسبت به پودر شیر بدون چربی بیشتر است (۳۰).

باید اشاره کرد تحقیقات نشان داده است که در محصولات لبنی میزان چربی بر میزان پیوستگی پودر

شدیدتر اتفاق می‌افتد (۳۲).

افزایش یابد. این پدیده خصوصاً در درجه حرارت‌های بالاتر خشک کردن به دلیل مایع شدن چربی



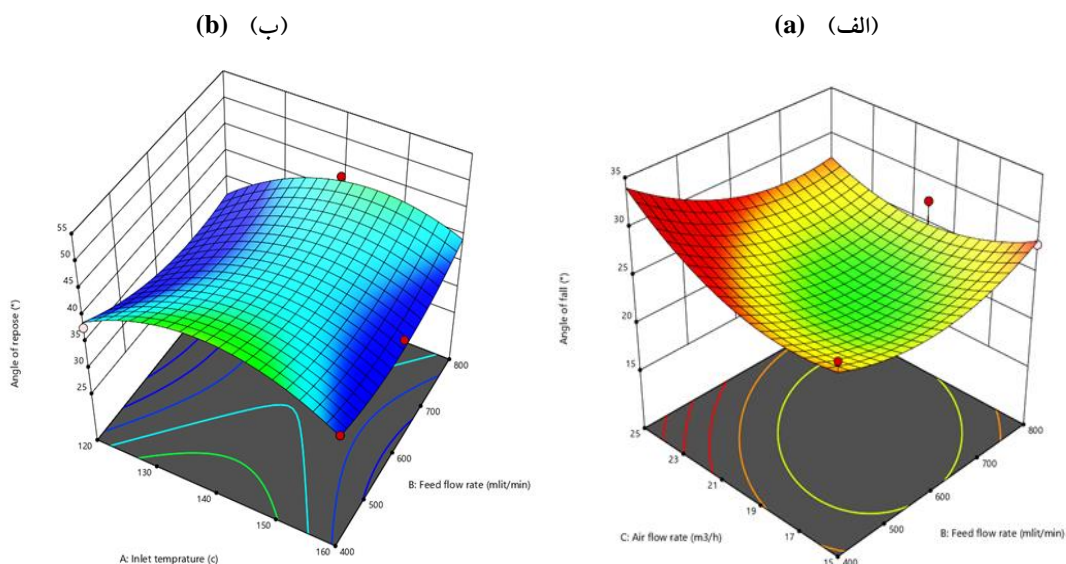
شکل ۴. اثر متقابل دمای هوای ورودی ( $^{\circ}\text{C}$ ) و دبی جریان هوا ( $\text{m}^3/\text{h}$ ) (الف)، اثر متقابل دمای هوای ورودی ( $^{\circ}\text{C}$ ) و دبی جریان خوارک ( $\text{mL}/\text{min}$ ) (ب) و تاثیر متقابل دبی جریان خوارک ( $\text{mL}/\text{min}$ ) و دبی جریان هوا ( $\text{m}^3/\text{h}$ ) (ج) در خشک کن پاششی بر پیوستگی شیرخشک شتر کامل کم فنیل آلانین

Figure 4. Interaction effect of inlet air temperature ( $^{\circ}\text{C}$ ) and air flow rate ( $\text{m}^3/\text{h}$ ) (a), the interaction effect of inlet air temperature ( $^{\circ}\text{C}$ ) and flow rate Feed ( $\text{mL}/\text{min}$ ) (b) and the interaction of feed flow rate ( $\text{mL}/\text{min}$ ) and air flow rate ( $\text{m}^3/\text{h}$ ) (c) in spray dryer on cohesiveness of low-phenylalanine whole camel milk powder.

## جدول ۶- طبقه‌بندی پیوستگی پودر بر اساس نسبت هاسنر (HR) (۲۴)

Table 6. Classification of powder cohesion based on Hasner's ratio

HR	پیوستگی Cohesiveness
1-1.11	خوب خوب Very good
1.12 -1.18	خوب Good
1.19 -1.25	نسبتاً خوب Fair good
1.26 -1.34	متوسط Fair bad
1.35-1.45	بد Bad
1.46-1.59	خوبی بد Very bad
<1.60	خوبی خوبی بد Very very bad



شکل ۵- اثر متقابل دبی جریان هوا ( $m^3/h$ ) و دبی جریان خوراک (mL/min) بر اندازه زاویه ریپوز تخلیه (الف) و اثر متقابل دمای هوای ورودی (°C) و دبی جریان خوراک (mL/min) بر اندازه زاویه ریپوز پرکردن (ب) شیرخشک شتر کامل کم فنیل آلانین

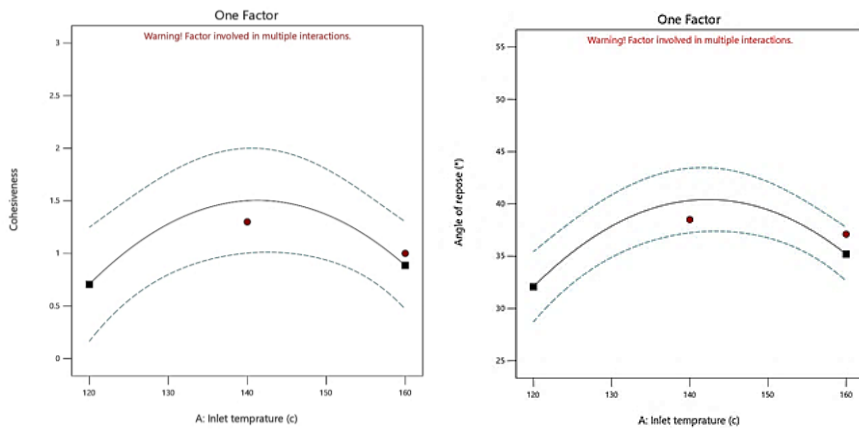
Figure 5. The interaction effect of air flow rate ( $m^3/h$ ) and feed flow rate (mL/min) on the falling repose angle (a) and the interaction effect of the inlet air temperature (°C) and the feed flow rate (mL/min) on the filling repose angle (b) of low-phenylalanine whole camel milk powder

معنی دار بود ( $p < 0.05$ ) (شکل ۵). زاویه ریپوز پرکردن با میزان چسبندگی پودرها ارتباط مستقیم دارد (۳۱)، به طوری که هرچه زاویه ریپوز پرکردن نمونه‌های شیرخشک شتر کامل کم فنیل آلانین بیشتر بود پودر تولیدشده چسبندگی بیشتری داشت (شکل ۶)، در

مقدار زاویه ریپوز پرکردن و تخلیه شیرخشک شتر کامل کم فنیل آلانین: آنالیز واریانس نتایج اندازه گیری زوایای ریپوز نمونه‌های شیرخشک شتر کامل کم فنیل آلانین نشان داد تاثیر سطوح پارامتر دمای ورودی و دبی جریان هوا بر روی زوایای ریپوز نمونه‌ها

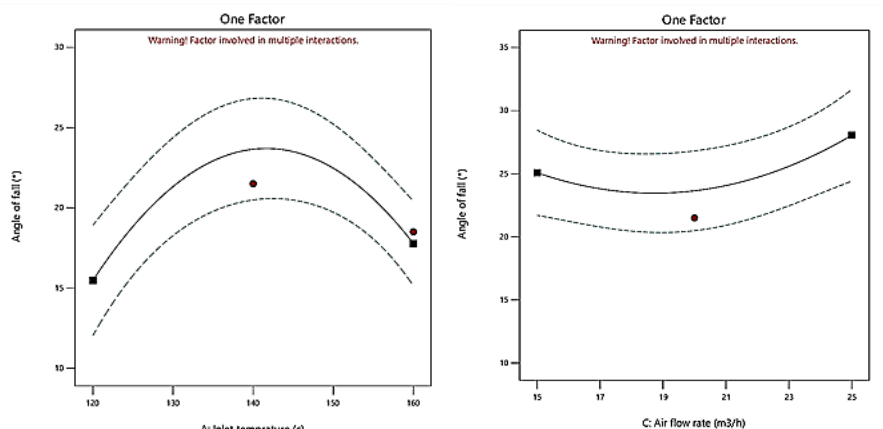
کوچکتر بود جریان‌پذیری محصول با سهولت بیشتری انجام شد.

حالی که زاویه ریپوز تخلیه به جریان‌پذیری نمونه‌ها وابسته می‌باشد (۳۱). همانطور که در شکل ۷ قابل مشاهده می‌باشد هرچه زاویه ریپوز تخلیه در نمونه‌ها



شکل ۶- تغییرات اندازه زاویه ریپوز پرکردن (سمت راست) و میزان چسبندگی (سمت چپ) نمونه‌های شیرخشک شتر کامل کم فنیل‌آلین

Figure 6. Changes in the filling repose angle (right side) and the amount of cohesiveness (left side) of low-phenylalanine whole camel milk powder



شکل ۷. تغییرات اندازه زاویه ریپوز تخلیه (سمت راست) و میزان جریان‌پذیری (سمت چپ) نمونه‌های شیرخشک شتر کامل کم فنیل‌آلین

Figure 7. Changes of the falling repose angle (right side) and the amount of flowability (left side) of Low-phenylalanine whole camel milk powder

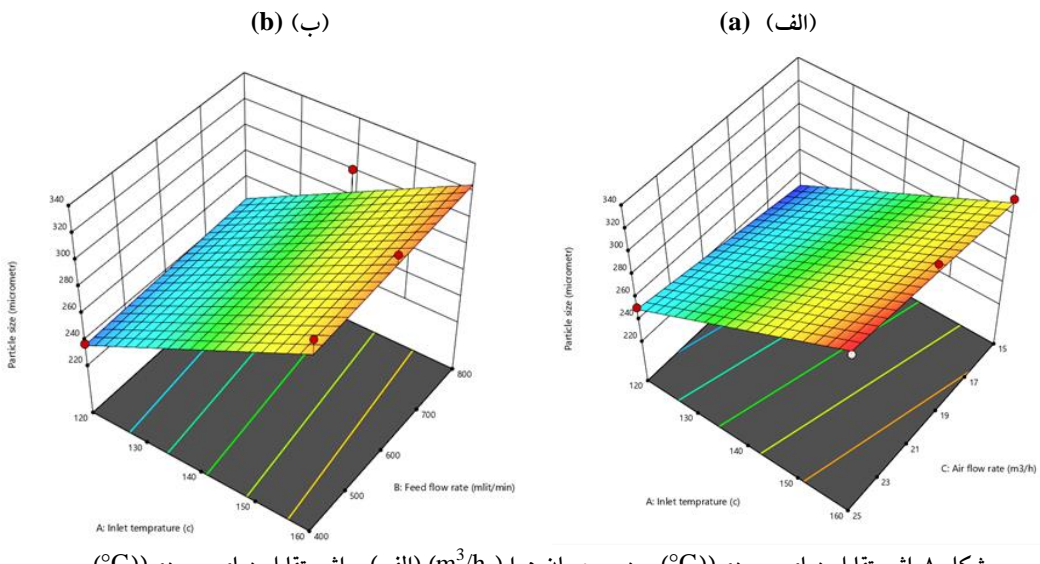
شتراحت هیدرولیز شده نشان داد تاثیر پارامترهای دمای ورودی و دبی جریان هوا بر قطر ذرات معنی‌دار بود ( $p < 0.05$ ), در حالی که اثر پارامتر دبی جریان خوراک به تنها یی و تاثیر همزمان و متقابل پارامترها بر اندازه ذرات معنادار نبود ( $p \geq 0.05$ ). همان‌طور که در شکل

توزیع اندازه ذرات شیرخشک شتر کامل کم فنیل-آلین: اندازه ذرات یکی از مهمترین ویژگی‌های پودرهای غذایی محسوب می‌شود که جریان‌پذیری پودرها را تحت تاثیر قرار می‌دهد. آنالیز واریانس نتایج حاصل از محاسبه میانگین قطر ذرات شیرخشک

شده در دماهای پایین‌تر، کوچکتر بوده و ظاهری چروکیده‌تری دارند (۳۳).

در تحقیق انجام شده بر روی شیر خشک شتر تولید شده توسط خشک‌کن پاششی در دماهای ورودی ۱۶۰، ۱۸۰ و ۲۰۰ درجه سانتی‌گراد نتایج مشابه حاصل شد به طوری که در دمای بالاتر خشک کردن ذرات بزرگتری تشکیل شد (۱۹). در تحقیق مشابه دیگر انجام شده بر روی شیر گاو خشک شده در دماهای ورودی ۷۷، ۱۰۷، ۱۵۵ و ۱۷۸ درجه سانتی‌گراد نیز اندازه ذرات در دمای بالاتر خشک کردن بزرگتر بود (۳۴).

۸ قابل مشاهده می‌باشد با افزایش دما اندازه ذرات بزرگ‌تر شد. تحقیقات نشان داده است افزایش دمای هوا موجب افزایش اندازه ذرات، تخلخل بیشتر، ایجاد اشکال منظم‌تر کروی با پوسته‌ای صاف در پودرهای تولید شده می‌شود. علت آن را اینگونه توضیح داده‌اند که در دماهای بالاتر به دلیل اینکه پوسته سریعتر تشکیل شده، فرصت کافی برای چروکیده و کوچک شدن ذرات وجود ندارد، بنابراین با افزایش دمای هوا ورودی خشک‌کن، اندازه ذرات بزرگ‌تر، شکل آنها کروی و صاف‌تر بوده در حالی که ذرات خشک



شکل ۸. اثر متقابل دمای ورودی (°C) و دبی جریان هوا (m<sup>3</sup>/h) (الف) و اثر متقابل دمای ورودی (°C) و دبی جریان خوراک (mL/min) (ب) در خشک‌کن پاششی بر میانگین قطر ذرات شیر خشک شتر کامل کم فنیل آلانین

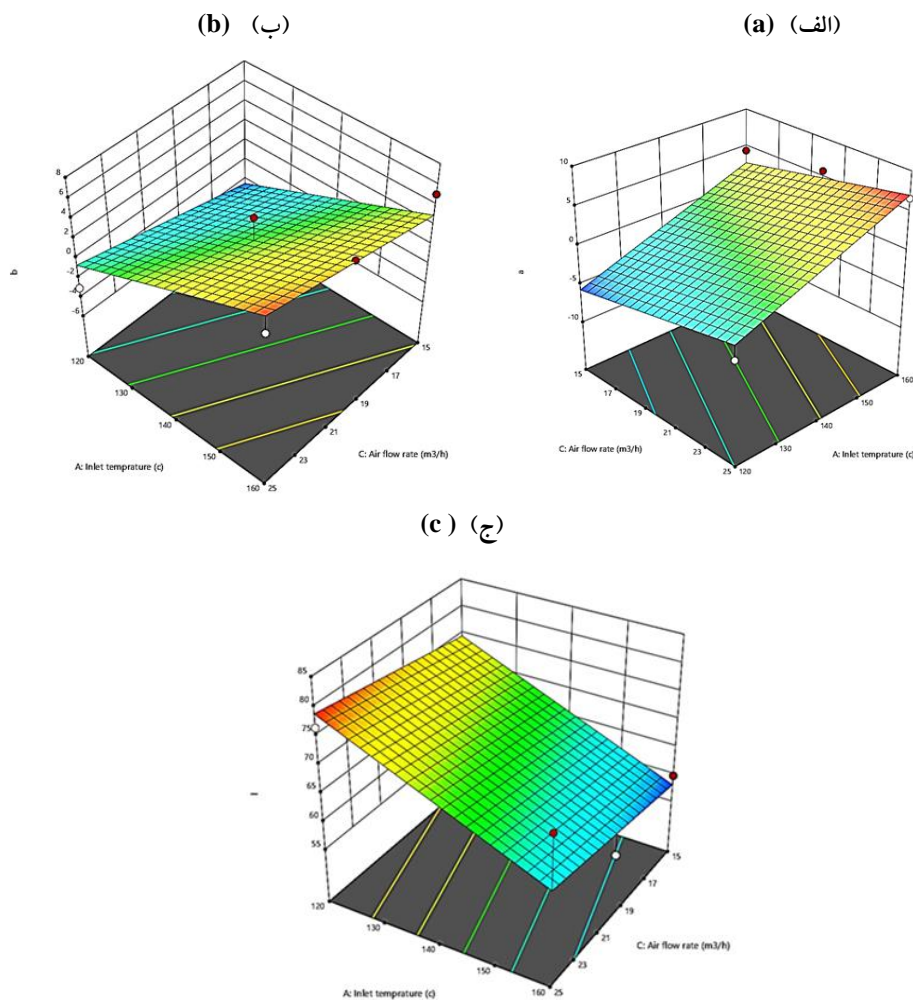
**Figure 8.** Interaction effect of inlet temperature (°C) and air flow rate (m<sup>3</sup>/h) (a) and interaction effect of inlet temperature (°C) and feed flow rate (mL/min) (b) in the spray dryer on the average particle diameter of low-phenylalanine whole camel milk powder

می‌باشد با افزایش دمای ورودی خشک‌کن پاششی، مقدار \*a مثبت‌تر شد. که این نشان دهنده کاهش شدت رنگ سبز در پودرهای شیر خشک شتر هیدرولیزشده و افزایش شدت رنگ قرمز در نمونه‌های تولیدی در دمای بالاتر می‌باشد. در حالی که با افزایش دمای ورودی شدت رنگ زرد نمونه‌ها بیشتر

پارامترهای رنگی شیر خشک شتر کامل کم فنیل-آلانین: آنالیز واریانس اندازه‌گیری میزان \*L<sup>a</sup> و \*b<sup>b</sup> نمونه‌های شیر خشک شتر کامل بدون فنیل آلانین شده با نرم افزار ایمیج جی نشان داد تاثیر پارامتر دمای ورودی بر هر سه فاکتور رنگ سنجی معنی‌دار بود ( $p < 0.05$ ). همانطور که در شکل ۹ قابل مشاهده

قرمزی پودر در هر دونوع شیر شد (۱۲). نتایج آنالیز داده‌ها در نمونه‌های شیرخشک شتر هیدرولیز شده در خصوص فاکتور  $L^*$  نشان داد با افزایش دما از میزان روشنایی نمونه‌ها کاسته شد.

شد (افزایش مقدار  $a^*$  با افزایش دما نشان دهنده افزایش رنگ زرد در نمونه‌ها می‌باشد). در تحقیق مشابه انجام شده بر روی نمونه‌های شیرگاو و شیرشتر خشک شده در خشک کن پاششی نشان داد دمای بالاتر خشک کن پاششی سبب افزایش رنگ



شکل ۹- اثر متقابل دمای ورودی (°C) و دبی میزان  $a^*$  (m<sup>3</sup>/h) بر جریان هوا (الف)، اثر متقابل دمای ورودی (°C) و دبی جریان هوا (m<sup>3</sup>/h) بر میزان  $b^*$  (ب) و تاثیر اثر متقابل دمای ورودی (°C) و دبی جریان هوا (m<sup>3</sup>/h) بر میزان  $L^*$  (ج) شیرخشک شتر کامل کم فنیل‌آلائین

Figure 9. The interaction effect of inlet temperature (°C) and air flow rate (m<sup>3</sup>/h) on the amount of  $a^*$  (a), the interaction effect of inlet temperature (°C) and air flow rate (m<sup>3</sup>/h) on the amount of  $b^*$  (b) and the effect of interaction of inlet temperature (°C) and air flow rate (m<sup>3</sup>/h) on  $L^*$  (c) of Low-phenylalanine whole camel milk powder

هیدرولیز شیرشتر کامل جهت تولید شیرکامل شتر کم فنیل‌آلائین موثر می‌باشد. پارامترهای مورد استفاده در پژوهش در خصویات جریان‌پذیری نمونه شیرخشک

### نتیجه‌گیری

نتایج حاصل از این پژوهش نشان داد استفاده همزمان از پروتئاز آسپرژیلوس اوریزا و پاپایین در

درحالی که میزان پخششوندگی نمونه‌ها با افزایش دما تا دمای  $140^{\circ}\text{C}$  افزایش و پس از آن با افزایش دما از سرعت افزایش آن کاسته شد. زاویه ریپوز پر کردن با میزان چسبندگی پودرها ارتباط مستقیم داشت به طوری که با افزایش چسبندگی پودرها زاویه ریپوز پر کردن افزایش یافت. زاویه ریپوز تخلیه نیز با جریان-پذیری نمونه‌ها رابطه معکوس داشت و با کاهش زاویه ریپوز جریان‌پذیری محصول با سهولت بیشتری انجام شد. افزایش دمای ورودی خشک کن پاششی نیز سبب افزایش اندازه ذرات پودر، میزان<sup>a\*</sup> و<sup>b\*</sup> شد در حالی که از میزان<sup>\*</sup> L نمونه شیرخشک شتر کامل کم فنیل‌آلانین موثر بودند به طوری که

نشتر کامل کم فنیل‌آلانین تولید شده در این پژوهش در دمای  $160^{\circ}\text{C}$  و دبی جریان خوراک  $600\text{ mL/min}$  و دبی جریان هوا $\text{h}^{-1}$  ۲۰ از جریان‌پذیری خیلی خوبی برخوردار بود و پیوستگی همین نمونه بر اساس نسبت هاسنر نیز در طبقه پودر با پیوستگی خیلی خوب قرار داشت. مقدار زمان خیس‌شوندگی نمونه‌های خشک شده با افزایش دمای ورودی با توجه به افزایش اندازه ذرات در دمای بالاتر کاهش یافت،

### References

- 1.Keskin, F.N. Şahin, T. Capasso, ÖR. & Ağagündüz, D. 2022. Protein substitutions as new-generation pharmanutrition approach to managing phenylketonuria. Clinical and Experimental Pediatrics.
- 2.Romani, C., Olson, A., Aitkenhead, L., Baker, L., Patel, D. & Van Spronsen, F. et al. 2022. Meta-analyses of cognitive functions in early-treated adults with phenylketonuria. Neuroscience & Biobehavioral Reviews. 104925.
- 3.Al-Ayadhi, L., Alhowikan, R. & El-Ansary, A. 2022. Comparative study on the ameliorating effects of camel milk as a dairy product on inflammatory response in autism spectrum disorders. Neurochemical Journal. 16: 99-108.
- 4.Al Kanhal, H.A. 2010. Compositional, technological and nutritional aspects of dromedary camel milk. International Dairy Journal. 20: 811-821.
- 5.Manohar Lal, K., Mahala, N., Runthala, A., Dubey, U., Biological & Sciences, C. 2020. Camel milk  $\alpha$ -lactalbumin as a potential anticancer molecule: A Bioinformatics analysis. 11: 38-52.
- 6.Shabo, Y. Barzel, R., Margoulis, M. & Yagil, R. 2005. Camel milk for food allergies in children. Imaj-Ramat gan. 7: 796.
- 7.Santos, L.C.D., Condotta, R. & Ferreira, M.D.C. 2018. Flow properties of coarse and fine sugar powders. Journal of Food Process Engineering. 41: 12-48.
- 8.Deeth, H. & Hartanto, C. 2009. Chemistry of milk—role of constituents in evaporation and drying. 1-27.
- 9.Amiri- Rigi, A., Emam- Djomeh, Z., Mohammadifar, M.A. & Mohammadi, M.. 2012. Spray drying of low- phenylalanine skim milk: optimisation of process conditions for improving solubility and particle size. International journal of food science & technology. 47: 495-503.
- 10.Chegini, G. & Taheri, M.J. 2013. Whey powder: process technology and physical properties: a review. 13: 1377-1387.
- 11.Habtegebriel, H., Wawire, M., & Sila, D. 2018. The effect of pretreatment (Spray Drying) on the yield and selected nutritional components of whole camel milk powder. Journal of food science. 83: 2983-2991.
- 12.Sulieman, A.M.E., Elamin, O.M., Elkhalifa, E.A. & Laleye, L. 2014. Comparison of physicochemical properties of spray-dried camel's milk and cow's milk powder. International Journal of Food Science and Nutrition Engineering. 4: 15-19.
- 13.Phoungchandang, S. & Sertwasana, A. 2010. Spray-drying of ginger juice and physicochemical properties of ginger powders. Science Asia. 36: 40-45.

14. León-Martínez, F., Mendez-Lagunas, L.L. & Rodriguez-Ramirez, J. 2010. Spray drying of nopal mucilage (*Opuntia ficus-indica*): Effects on powder properties and characterization. *Carbohydrate Polymers*. 81: 864-870.
15. Soma, Y., Izumi, Y., Shimohira, T., Takahashi, Y., Imado, S. & Tominaga, M. et al. 2022. In-Needle Pre-Column Derivatization for Amino Acid Quantification (iPDAQ) Using HPLC. *Metabolites*. 12, 807.
16. Shehata, A.E., El-Magdoub, M.N., Kamal, T.M. & Mohamed, H.A. 2008. enzymatic Preparation of low-Phenylalanine Formula Derived from Skim Milk Hydrolysate for Phenyl ketonuric Patients. 9:51-71.
17. Nayak, C.M., Ramachandra, C., Nidoni, U., Hiregoudar, S., Ram, J. & Naik, N.M. 2022. Influence of processing conditions on quality of Indian small grey donkey milk powder by spray drying. *Journal of Food Science and Technology*. 1-8.
18. De Oliveira, A.H., Mata, M., Fortes, M., Duarte, M., Pasquali, E.M. & Lisboa, H.M. 2021. Influence of spray drying conditions on the properties of whole goat milk. *Drying Technology*. 39: 726-737.
19. Zouari, A., Lajnaf, R., Lopez, C., Schuck, P., Attia, H. & Ayadi, M.A. 2021. Physicochemical, techno-functional, and fat melting properties of spray-dried camel and bovine milk powders. *Journal of food science*. 86: 103-111.
20. Sarabandi, KH. & Peighambari, H. 2015. Effect of some production parameters and storage time on the flow ability characteristics of Spray-dried Malt Extract Powder. *Iranian Journal of Nutrition Sciences & Food Technology*. Vol. 10, No. 1. (In Persian)
21. Razavi, S.M., Amini, A.M., Rafe, A. & Emadzadeh, B. 2007. The physical properties of pistachio nut and its kernel as a function of moisture content and variety. Part III: Frictional properties. *Journal of Food Engineering*. 81: 226-235.
22. Milani, E., Hashemi, N., Mortazavi, SA., Tabatabai Yazdi, F. & Gazerani, S. 2018. Optimization of Instant Drink Powder Formulation Based on Almond Meal-Corn Textured Flour. *Iranian Journal of Nutrition Sciences & Food Technology*. Vol. 13, No. 2. (In Persian)
23. Chung, H.S., Kim, K.D., Moon & Youn, K.S. 2014. Changes in color parameters of corn kernels during roasting. *Food Science and Biotechnology* 23: 1829-1835.
24. Reddy, R.S., Ramachandra, C., Hiregoudar, S., Nidoni, U., Ram, J. & Kammar, M. 2014. Influence of processing conditions on functional and reconstitution properties of milk powder made from Osmanabadi goat milk by spray drying. *Small Ruminant Research*. 119: 130-137.
25. Habtegebriel, H., Edward, D., Wawire, D., Sila, M., Seifu, E.J.F. & Processing, B. 2018. Effect of operating parameters on the surface and physico-chemical properties of spray-dried camel milk powders. 112: 137-149.
26. Karray, N., Lopez, C., Ollivon, M. & Attia, H. 2005. La matière grasse du lait de dromadaire: composition, microstructure et polymorphisme. Une revue. *Oléagineux, Corps gras, Lipides*. 12: 439-446.
27. Goula, A.M. & Adamopoulos, K.G. 2005. Spray drying of tomato pulp in dehumidified air: II. The effect on powder properties. *Journal of food engineering* 66: 35-42.
28. Kim, E.H.J., Chen, X.D. & Pearce, D. 2002. Surface characterization of four industrial spray-dried dairy powders in relation to chemical composition, structure and wetting property. *Colloids and surfaces B: Biointerfaces*. 26: 197-212.
29. Lebrun, P., Krier, J., Mantanus, H., Grohganz, M., Yang, E. & Rozet, et al. 2012. Design space approach in the optimization of the spray-drying process. *European Journal of Pharmaceutics and Biopharmaceutics*. 80: 226-234.
30. Fitzpatrick, J., Barry, K., Delaney, C. & Keogh, K. 2005. Assessment of the flowability of spray-dried milk powders for chocolate manufacture. *Le Lait*. 85: 269-277.
31. Emery, E.J., Oliver, T., Pugsley, J., Sharma, J. & Zhou. 2009. Flowability of moist pharmaceutical powders. *Powder Technology*. 189: 409-415.
32. Fitzpatrick, J. 2013. Powder properties in food production systems. *Handbook of food powders*. Elsevier. p. 285-308.
33. Shittu, T. & Lawal, M. 2007. Factors affecting instant properties of powdered cocoa beverages. *Food Chemistry* 100: 91-98.

34. Fang, Y., Rogers, S., Selomulya, C., & Chen, X.D. 2012. Functionality of milk protein concentrate: Effect of spray drying temperature. Biochemical Engineering Journal. 62: 101-105.